

## サクションの違いに着目した乱さないしらすのせん断特性

山口大学工学部  
九州大学工学部

NTT

山口大学大学院

正員 村田秀一 兵動正幸  
正員 安福規之

正員 梶原佳幸

学生員 ○合澤真喜

まえがき “しらす”は南九州に広く分布し、そのしらす斜面では毎年のように大規模な豪雨災害が報告されている。中でも1993年に起きた豪雨による大規模な斜面崩壊は記憶に新しい。本報は、斜面安定問題を検討する第一歩として乱さない状態でしらす試料を採取し、そのせん断特性を不飽和土特有のパラメーターであるサクションに着目して検討するものである。

**試料採取方法及び試料の性質** 試料は鹿児島県姶良郡隼人町にて村田らの提案した釘打ち込み法<sup>1)</sup>によって採取した乱さない姶良しらすである。ブロックサンプルを室内に搬入し凍結後、液化窒素ガスとコアピット及びディスクカッターを併用して乱さないしらす供試体(H=10cm, φ=5cm)を作成した。表-1には作成した供試体の指標的性質を示す。

原位置における自然含水比状態での乱さないしらすの山中式土壤硬度計による指標硬度は約26mmであり、土質工学会基準では中硬質のふつうしらすに属する。また、自然含水比状態でのサクションは計測の結果17kPaであった。

**実験方法** 二重セル型の不飽和土用三軸試験機に供試体をセットし、平均主応力を載荷後サクションを載荷するという応力経路で等方的に圧縮を行い、側圧一定・ひずみ制御(ひずみ速度0.005%/min)でせん断を行った。なお自然含水比状態の供試体に対してはサクションの載荷及び水の供給は行っていない。本試験装置は任意の応力経路による実験が可能であり、コンピューターによる自動制御・計測が可能なもの<sup>2)</sup>である。

**実験結果と考察** 実験結果の代表的な例として、拘束圧50kPaにおける種々のサクション状態の応力ひずみ関係を示したもののが図-1である。この図から、①応力比に明確なピークが存在しその値はサクションに依存して大きくなること、②ピークを示した後ひずみ軟化挙動を示すこと、③ $S_u=50kPa$ まではサクションが大きいほど正のダイレタンシーが顕著になるが、 $S_u=100kPa$ では逆に圧縮性が増していくことがわかる。これらの挙動は他の拘束圧の場合の応力ひずみ関係においても見られる傾向であった。

図-2は図-1のひずみ軟化挙動に着目し、拘束圧とぜい性指数の関係をサクションをパラメーターに表したものである。ぜい性指数とはひずみ硬化軟化挙動の程度を示す指標で、次式で定義される。

$$I_B = 1 - \frac{q_r}{q_f} \quad \dots \dots \dots (1)$$

( $q_f$ :破壊時の軸差応力、 $q_r$ :残留時の軸差応力)

ぜい性指数は、その値が1に近いほどひずみ軟化は著しく、またぜい性指数が0に近いほど軟化が生じないことを意味している。図-2より拘束圧が増加するに従って総じてぜい性指数は低下する傾向が認められる。また50kPa以下の比較的低拘束圧下ではサクションによらずぜい性指数はほぼ一定値を示しているが、拘束圧が200kPaに達するとサクションの大きなものほどぜい性指数は小さくなるという明確なサクション依存性が現れることが認め

表-1 試料の指標的性質

$G_s$	2.420
$D_{50}$	0.28
$U_c$	32.14
$w(\%)$	16.89
$e$	0.848
$\gamma (\text{g}/\text{cm}^3)$	1.564
$S_u(\%)$	48.20
粒度	4%
砂分	76%
シルト分	12%
粘土以下	8%

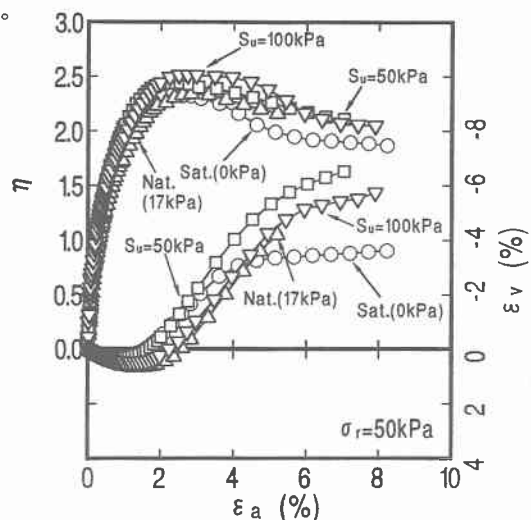


図-1 代表的な応力比-ひずみ関係

られる。このことから、乱さないしらすでは拘束圧が大きくなると、固結効果、かみ合わせ効果等による構造の効果が軽減される一方でサクションの効果が卓越し、サクションの増加に伴い軟化しにくくなるという傾向になっていくことがわかる。

図-3は破壊時の軸差応力とサクションの関係を拘束圧をパラメーターに示したものである。この図から、低い拘束圧ではサクションが増加してもさほど破壊時の軸差応力には変化は起こらないが、拘束圧が増加するに従ってサクションの効果が顕著となり、破壊時の軸差応力が増大していく傾向にあることがわかる。

図-4は強度増加率 $R_s$ とサクションの関係を拘束圧をパラメーターに示したものである。強度増加率とは次式で定義され、サクションの強度寄与率を表す。

$$R_s = \frac{q_{f,Su} - q_{f,Sat}}{q_{f,Su}} \times 100(\%) \quad \dots \dots \quad (2)$$

$$\left( \begin{array}{l} q_{f,Su}: \text{サクション載荷された供試体の破壊時の軸差応力} \\ q_{f,Sat}: \text{飽和供試体の破壊時の軸差応力} \end{array} \right)$$

強度増加率 $R_s$ が0のときはサクションによって強度が増加せず、強度増加率 $R_s$ が100(%)のときは強度の増加がすべてサクションによって受け持たれていると解釈できる。自然含水比状態付近では、強度増加率には明確なサクションの依存性が確認できるがサクションの増加に伴い、強度増加率は一定値に収束する傾向にあることがわかる。また拘束圧が200kPaでは、自然含水比状態付近においてサクションの増大による強度増加率の増大が顕著であるが、拘束圧が50kPaではサクションが50kPa付近において顕著である。比較的高い拘束圧では固結効果、インターロッキング効果等の構造の効果が軽減され、比較的小さなサクションでも強度は明確に増大する。それに対し、比較的低い拘束圧では堅固な構造が供試体内に存在し、高いサクションを載荷しない限り強度に対する影響が明確にならないものと考えられる。しかしながら、サクション増加に伴い強度が一定値に収束するのはサクションの効果の限界を示すものであると考えられる。

あとがき サクションの効果は、乱さない土の堅固な構造が存在する場合はそれに打ち消されあまり明確ではない。しかしながら拘束圧の増加による構造の破壊によってその影響度は徐々に明確になっていくことが明らかとなった。今後は拘束圧とサクションの効果の相互作用について定量的に検討する必要があるものと思われる。

【参考文献】1)村田ら乱さないまさ土のせん断強度特性,第19回土質工学研究発表会講演概要集\_2-1,pp497-498,1984 2)安福,梶原ら:サクションを制御できる不飽和土用三軸試験機の試作とその適用,第45回土木学会中国四国支部研究発表会講演概要集,pp424-425,1993

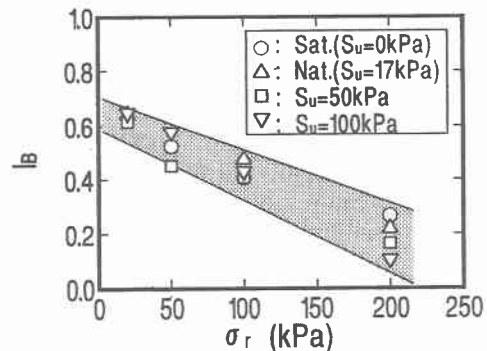


図-2 サクションとせいい性指数の関係

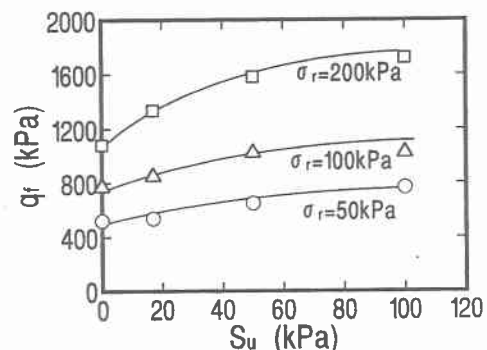


図-3 サクションと破壊時の軸差応力の関係

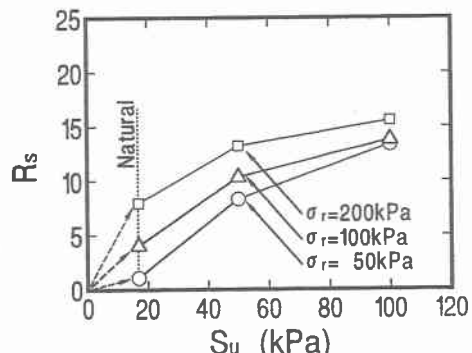


図-4 強度増加率とサクションの関係